

*IV117: Úvod do systémové biologie*

David Šafránek

3.12.2008

# *Obsah*

*Robustnost biologických systémů*

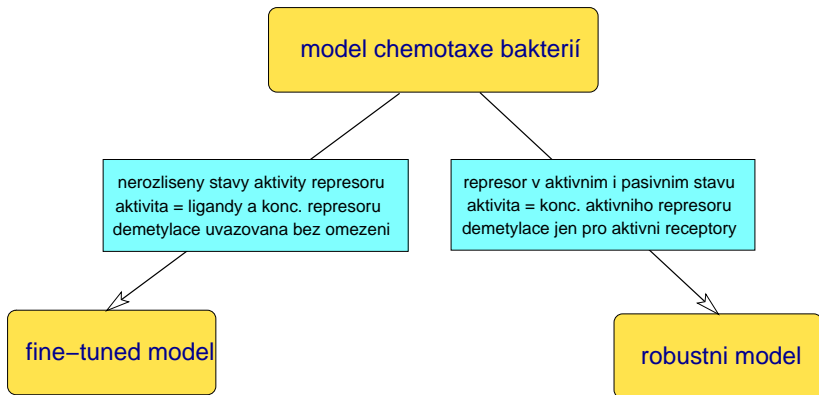
*Omezování chybovosti – kinetic proofreading*

# *Obsah*

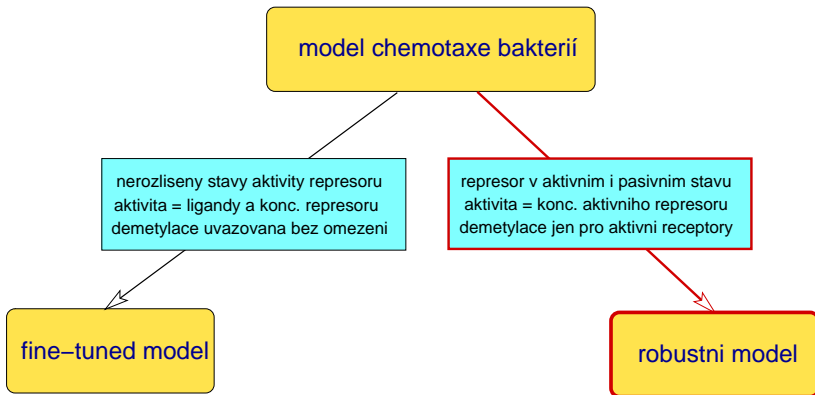
*Robustnost biologických systémů*

Omezování chybovosti – kinetic proofreading

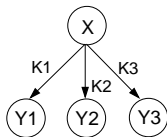
# *Robustnost chemotaxe – opakování*



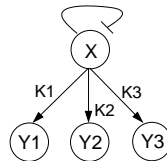
# *Robustnost chemotaxe – opakování*



# Robustnost – citlivost na parametry



(trX).b	1.10482
(trX).a	1.10482
(trY1).b	1
(trY1).n	0.0102839
(trY1).K	0.00638979
(trY1).a	0.999999
(trY2).b	1
(trY2).n	0.091486
(trY2).K	0.0998441
(trY2).a	0.999999
(trY3).b	1
(trY3).n	0.23443
(trY3).K	0.458924
(trY3).a	0.999999

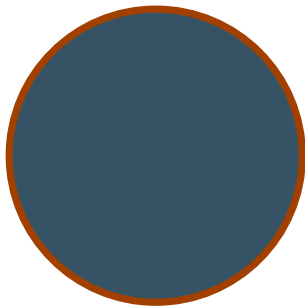


(trX).b	0.873808
(trX).a	0.873808
(trY1).b	1
(trY1).n	0.0485711
(trY1).K	0.0429537
<b>(trY1).a</b>	<b>0.999999</b>
(trY2).b	1
(trY2).n	0.259043
(trY2).K	0.591915
(trY2).a	0.999999
(trY3).b	1
(trY3).n	0.0602073
(trY3).K	1.87149
(trY3).a	0.999999

## *Robustnost diferenciace buněk – morfogeneze*

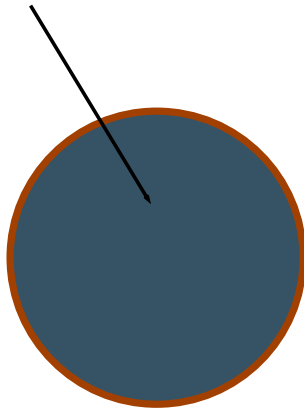
- v eukaryotických organismech buňky při vývoji rozčleněny do tkání
- prostorové formování tkání řízeno signální dráhou citlivou na specifické proteiny – **morfogeny**
- nejprve všechny buňky stejné (získány dělením vajíčka)
- postupně diferenciovány a tvarovány prostorovými gradienty morfogenů

# *Diferenciace buněk – morfogeneze*

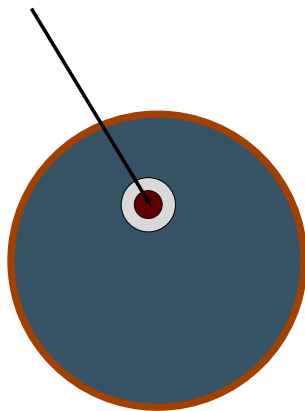




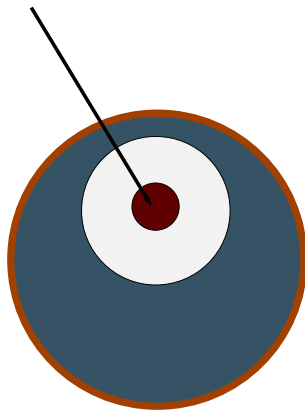
# *Diferenciace buněk – morfogeneze*

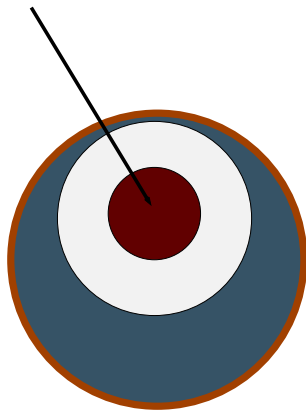


# *Diferenciace buněk – morfogeneze*

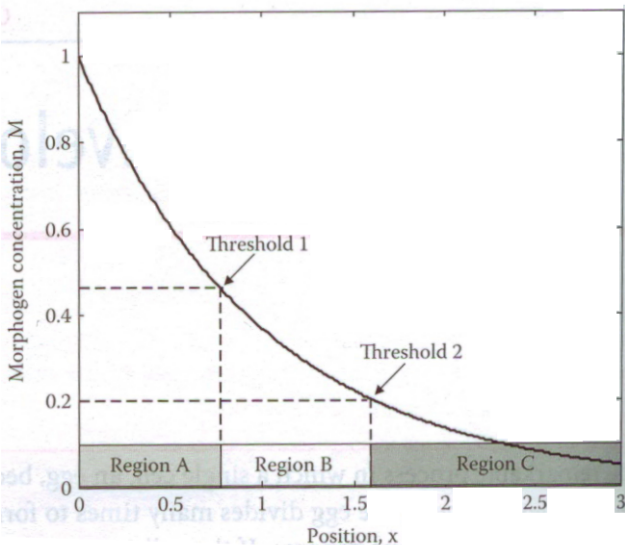


# *Diferenciace buněk – morfogeneze*



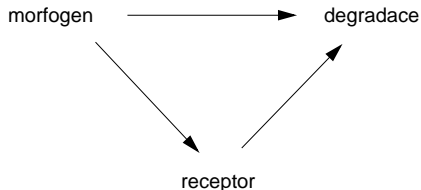
*Diferenciace buněk – morfogeneze*

# *Diferenciace buněk – morfogeneze*

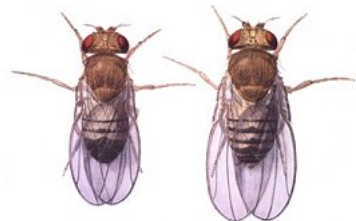


## *Robustnost diferenciace buněk – morfogeneze*

- morfogeneze je řízena specifickými signálními dráhami
  - receptory citlivé na morfogeny
  - cílovým bodem jsou promotory genů figurujících v developmentálních transkripčních sítích
- nastavení hranic regionů je robustní vůči fluktuacím a změnám v genetické regulaci
  - způsobeno markantním zvyšováním rychlosti degradace morfogenu s jeho rostoucí koncentrací



## *Morfogeneze octomilky obecné*



- *Drosophila melanogaster* (také “vinná muška”)
- vyvíjí se z vajíčka (cca 7 dní)
- experimentálně byla zjištěna robustní morfogeneze

A. Eldar et.al. Robustness of the BMP morphogen gradient in *Drosophila* embryonic patterning. *Nature*. 419, 304-308 (2002).

# *Obsah*

Robustnost biologických systémů

*Omezování chybovosti – kinetic proofreading*



## *Stupně volnosti (nepřesnosti) v organismu*

- některé interakce uvnitř organismu závisí na selekci správných komponent při působení rušivých faktorů

## *Stupně volnosti (nepřesnosti) v organismu*

- některé interakce uvnitř organismu závisí na selekci správných komponent při působení rušivých faktorů
  - **problém rozlišitelnosti**

## *Stupně volnosti (nepřesnosti) v organismu*

- některé interakce uvnitř organismu závisí na selekci správných komponent při působení rušivých faktorů
  - **problém rozlišitelnosti**
    - vazba proteinu na patřičnou část DNA
    - elongace aminokyselin – volba správného antikodonu (tRNA) pro příslušný kodon v mRNA
    - další vazby terciálních struktur (např. interakce proteinů, interakce ligandů s receptorem, ...)
    - ...

## *Stupně volnosti (nepřesnosti) v organismu*

- některé interakce uvnitř organismu závisí na selekci správných komponent při působení rušivých faktorů
  - **problém rozlišitelnosti**
    - vazba proteinu na patřičnou část DNA
    - elongace aminokyselin – volba správného antikodonu (tRNA) pro příslušný kodon v mRNA
    - další vazby terciálních struktur (např. interakce proteinů, interakce ligandů s receptorem, ...)
    - ...
- **výběr špatné komponenty (chyba) může mít fatální následky**

## *Stupně volnosti (nepřesnosti) v organismu*

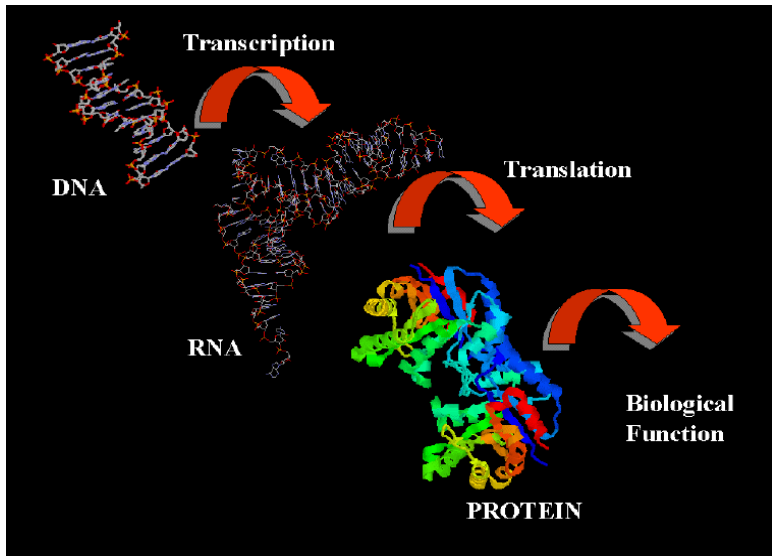
- některé interakce uvnitř organismu závisí na selekci správných komponent při působení rušivých faktorů
  - **problém rozlišitelnosti**
    - vazba proteinu na patřičnou část DNA
    - elongace aminokyselin – volba správného antikodonu (tRNA) pro příslušný kodon v mRNA
    - další vazby terciálních struktur (např. interakce proteinů, interakce ligandů s receptorem, ...)
    - ...
- **výběr špatné komponenty (chyba) může mít fatální následky**
- **jak minimalizovat možnost chyby?**

## *Stupně volnosti (nepřesnosti) v organismu*

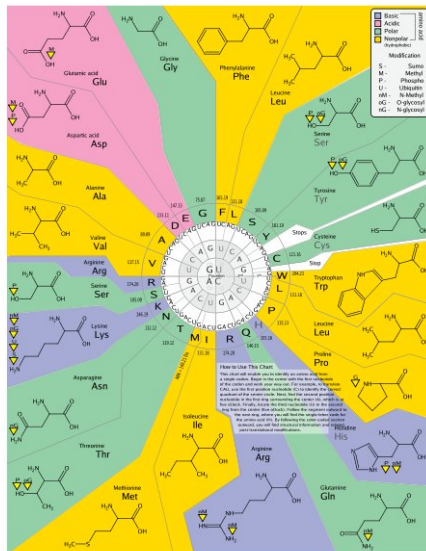
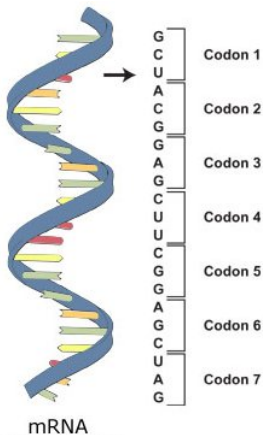
- některé interakce uvnitř organismu závisí na selekci správných komponent při působení rušivých faktorů
  - **problém rozlišitelnosti**
    - vazba proteinu na patřičnou část DNA
    - elongace aminokyselin – volba správného antikodonu (tRNA) pro příslušný kodon v mRNA
    - další vazby terciálních struktur (např. interakce proteinů, interakce ligandů s receptorem, ...)
    - ...
  - **výběr špatné komponenty (chyba) může mít fatální následky**
  - **jak minimalizovat možnost chyby?**
    - mechanismus kinetické korektury – **kinetic proofreading**

J.J. Hopfield, "Kinetic proofreading: a new mechanism for reducing errors in biosynthetic processes requiring high specificity." Proc. Natl. Acad. Sci. U.S.A. 71:4135-4139, (1974).

# *Translace*

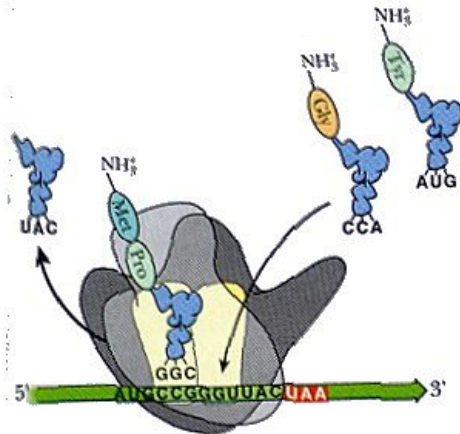


# Mapování antikodonů dle genetického kódu

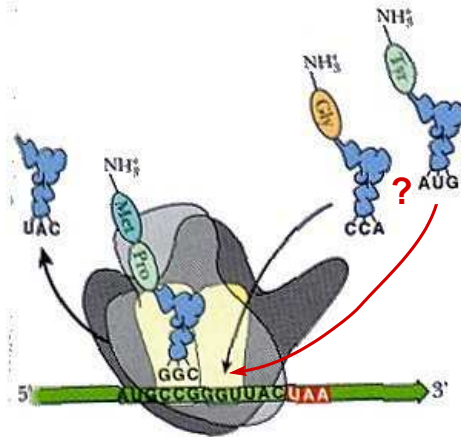




# Mapování antikodonů v ribozómu



# Mapování antikodonů v ribozómu



## *Mapování antikodonů*

- vlivem působení rušivých faktorů (např. fluktuace teploty) může dojít k navázání nesprávného antikodonu

## *Mapování antikodonů*

- vlivem působení rušivých faktorů (např. fluktuace teploty) může dojít k navázání nesprávného antikodonu
  - porušení genetického kódu

## *Mapování antikodonů*

- vlivem působení rušivých faktorů (např. fluktuace teploty) může dojít k navázání nesprávného antikodonu
  - porušení genetického kódu
- chyby v translaci nastávají řádově s frekvencí  $10^{-4}$

## *Mapování antikodonů*

- vlivem působení rušivých faktorů (např. fluktuace teploty) může dojít k navázání nesprávného antikodonu
  - porušení genetického kódu
- chyby v translaci nastávají řádově s frekvencí  $10^{-4}$ 
  - proteiny mají řádově 100 aminokyselin

## Mapování antikodonů

- vlivem působení rušivých faktorů (např. fluktuace teploty) může dojít k navázání nesprávného antikodonu
  - porušení genetického kódu
- chyby v translaci nastávají řádově s frekvencí  $10^{-4}$ 
  - proteiny mají řádově 100 aminokyselin
  - tedy pravděpodobnost vytvoření proteinu s jednou chybnou aminokyselinou je  $100 \cdot 10^{-4} = 0.01 = 1\%$

## Mapování antikodonů

- vlivem působení rušivých faktorů (např. fluktuace teploty) může dojít k navázání nesprávného antikodonu
  - porušení genetického kódu
- chyby v translaci nastávají řádově s frekvencí  $10^{-4}$ 
  - proteiny mají řádově 100 aminokyselin
  - tedy pravděpodobnost vytvoření proteinu s jednou chybnou aminokyselinou je  $100 \cdot 10^{-4} = 0.01 = 1\%$
  - větší frekvence chyb by vedla k dysfunkčnímu proteinu!



## *Modelování procesu translace*

- nejprve vytvoříme jednoduchý model
  - předpoklad rovnovážného stavu vazby tRNA–kodon
  - chybovost určena přímo pravděpodobností výběru nesprávného antikodonu

## *Modelování procesu translace*

- nejprve vytvoříme jednoduchý model
  - předpoklad rovnovážného stavu vazby tRNA–kodon
  - chybovost určena přímo pravděpodobností výběru nesprávného antikodonu
- provedeme rozšíření modelu v němž bude možnost chyby redukována mechanismem proofreadingu

# *Model translace*

**C**

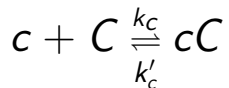
c ... **správný** antikodon (tRNA)

*Model translace*

$$c + C$$

$c$  ... **správný** antikodon (tRNA)

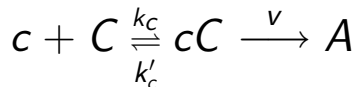
$C$  ... kodon (mRNA)

*Model translace*

$c$  ... **správný** antikodon (tRNA)

$C$  ... kodon (mRNA)

$cC$  ... vazba kodon–antikodon

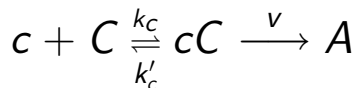
*Model translace*

$c$  ... **správný** antikodon (tRNA)

$C$  ... kodon (mRNA)

$cC$  ... vazba kodon–antikodon

$A$  ... **správná** aminokyselina

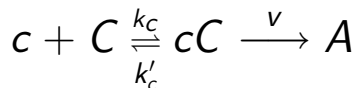
*Model translace*

$k_c$  ... rychlost formace vazby kodon–antikodon

$k'_c$  ... rychlost rozpadu vazby kodon–antikodon

$v$  ... rychlost vytvoření vazby  $A$  s předchozí aminokyselinou

## *Model translace*

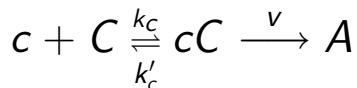


- formování proteinu (vazeb mezi aminokyselinami) je řádově pomalejší než interakce na kodonu

$$v \ll k_c \quad v \ll k'_c$$



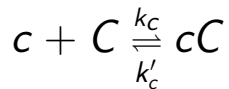
## *Model translace*

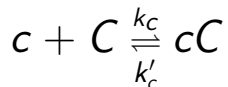


- formování proteinu (vazeb mezi aminokyselinami) je řádově pomalejší než interakce na kodonu

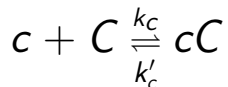
$$v \ll k_c \quad v \ll k'_c$$

⇒  $v$  nemá z krátkodobého hlediska vliv na rovnovážný stav reakcí  $k_c$  a  $k'_c$

*Model translace*

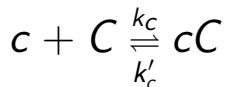
*Model translace*

$$\frac{[cC]}{dt} = k_c[c][C] - k'_c[cC]$$

*Model translace*

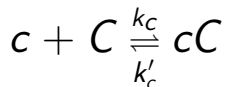
$$\frac{[cC]}{dt} = k_c[c][C] - k'_c[cC]$$

$$\frac{[cC]}{dt} = 0$$

*Model translace*

$$\frac{[cC]}{dt} = k_c[c][C] - k'_c[cC]$$

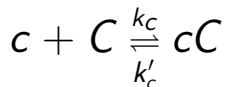
$$\frac{[cC]}{dt} = 0 \Rightarrow k_c[c][C] = k'_c[cC]$$

*Model translace*

$$\frac{[cC]}{dt} = k_c[c][C] - k'_c[cC]$$

$$\frac{[cC]}{dt} = 0 \Rightarrow k_c[c][C] = k'_c[cC]$$

$$\Rightarrow [cC] = \frac{k_c}{k'_c}[c][C]$$

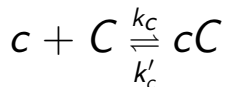
*Model translace*

$$\frac{[cC]}{dt} = k_c[c][C] - k'_c[cC]$$

$$\frac{[cC]}{dt} = 0 \Rightarrow k_c[c][C] = k'_c[cC]$$

$$\Rightarrow [cC] = \frac{k_c}{k'_c}[c][C]$$

- zavedeme  $K_c = \frac{k'_c}{k_c}$

*Model translace*

$$\frac{[cC]}{dt} = k_c[c][C] - k'_c[cC]$$

$$\frac{[cC]}{dt} = 0 \Rightarrow k_c[c][C] = k'_c[cC]$$

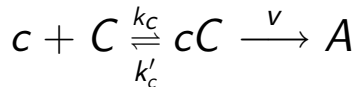
$$\Rightarrow [cC] = \frac{k_c}{k'_c}[c][C]$$

- zavedeme  $K_c = \frac{k'_c}{k_c}$  a dostáváme:

$$[cC] = \frac{[c][C]}{K_c}$$



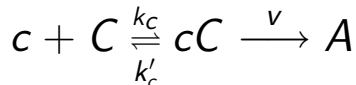
## *Model translace*



- pomocí kvazi-stabilní aproximace lze nyní vyjádřit rychlost  $r_A$  vazebného přiřazení aminokyseliny  $A$  k formovanému proteinu:

$$r_A = v[cC]$$

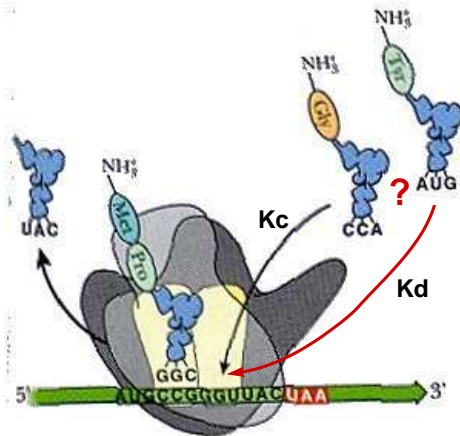
## *Model translace*



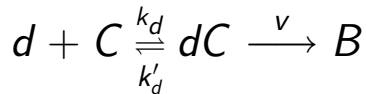
- pomocí kvazi-stabilní aproximace lze nyní vyjádřit rychlost  $r_A$  vazebného přiřazení aminokyseliny  $A$  k formovanému proteinu:

$$r_A = v[cC] = \frac{v[c][C]}{K_c}$$

# Model translace – správný vs. nesprávný antikodon



# *Model translace – nesprávný antikodon*



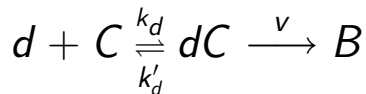
$C$  ... kodon (mRNA)

$d$  ... **nesprávný** antikodon (tRNA)

$dC$  ... vazba kodon–antikodon

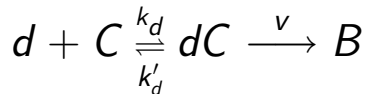
$B$  ... **nesprávná** aminokyselina

## *Model translace – nesprávný antikodon*



- koncentrace různých tRNA je za normálních okolností přibližně shodná ( $[d] \approx [c]$ )
- rychlost začlenění různých aminokyselin do proteinu je také přibližně shodná (stále uvažujeme  $v$ )

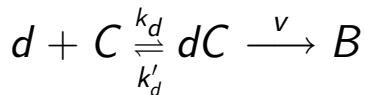
## *Model translace – nesprávný antikodon*



- stejnou procedurou jako pro  $c$  dostáváme rychlost  $r_B$  přiřazení aminokyseliny  $B$  k proteinu:

$$r_B = v[dC]$$

## *Model translace – nesprávný antikodon*



- stejnou procedurou jako pro  $c$  dostáváme rychlost  $r_B$  přiřazení aminokyseliny  $B$  k proteinu:

$$r_B = v[dC] = \frac{v[d][C]}{K_d}$$

kde  $K_d = \frac{k'_d}{k_d}$

## *Model translace – analýza chybovosti*

- srovnáme-li v rovnovážném stavu obě situace, dostáváme míru chybovosti  $E_{st}$ :

$$E_{st} = \frac{r_B}{r_A}$$



## *Model translace – analýza chybovosti*

- srovnáme-li v rovnovážném stavu obě situace, dostáváme míru chybovosti  $E_{st}$ :

$$E_{st} = \frac{r_B}{r_A} = \frac{\frac{v[d][C]}{K_d}}{\frac{v[c][C]}{K_c}}$$

## *Model translace – analýza chybovosti*

- srovnáme-li v rovnovážném stavu obě situace, dostáváme míru chybovosti  $E_{st}$ :

$$E_{st} = \frac{r_B}{r_A} = \frac{\frac{v[d][C]}{K_d}}{\frac{v[c][C]}{K_c}} \approx \frac{K_c}{K_d}$$

## *Model translace – analýza chybovosti*

- srovnáme-li v rovnovážném stavu obě situace, dostáváme míru chybovosti  $E_{st}$ :

$$E_{st} = \frac{r_B}{r_A} = \frac{\frac{v[d][C]}{K_d}}{\frac{v[c][C]}{K_c}} \approx \frac{K_c}{K_d}$$

- jelikož maximální možná rychlost syntézy je limitována difúzí, jsou rychlosti obou syntéz srovnatelné,  $k_c \approx k_d$ ,

## *Model translace – analýza chybovosti*

- srovnáme-li v rovnovážném stavu obě situace, dostáváme míru chybovosti  $E_{st}$ :

$$E_{st} = \frac{r_B}{r_A} = \frac{\frac{v[d][C]}{K_d}}{\frac{v[c][C]}{K_c}} \approx \frac{K_c}{K_d}$$

- jelikož maximální možná rychlost syntézy je limitována difúzí, jsou rychlosti obou syntéz srovnatelné,  $k_c \approx k_d$ , a tedy:

$$E_{st} = \frac{K_c}{K_d}$$

## Model translace – analýza chybovosti

- srovnáme-li v rovnovážném stavu obě situace, dostáváme míru chybovosti  $E_{st}$ :

$$E_{st} = \frac{r_B}{r_A} = \frac{\frac{v[d][C]}{K_d}}{\frac{v[c][C]}{K_c}} \approx \frac{K_c}{K_d}$$

- jelikož maximální možná rychlost syntézy je limitována difúzí, jsou rychlosti obou syntéz srovnatelné,  $k_c \approx k_d$ , a tedy:

$$E_{st} = \frac{K_c}{K_d} = \frac{\frac{k'_c}{k_c}}{\frac{k'_d}{k_d}}$$

## Model translace – analýza chybovosti

- srovnáme-li v rovnovážném stavu obě situace, dostáváme míru chybovosti  $E_{st}$ :

$$E_{st} = \frac{r_B}{r_A} = \frac{\frac{v[d][C]}{K_d}}{\frac{v[c][C]}{K_c}} \approx \frac{K_c}{K_d}$$

- jelikož maximální možná rychlost syntézy je limitována difúzí, jsou rychlosti obou syntéz srovnatelné,  $k_c \approx k_d$ , a tedy:

$$E_{st} = \frac{K_c}{K_d} = \frac{\frac{k'_c}{k_c}}{\frac{k'_d}{k_d}} \approx \frac{k'_c}{k'_d}$$

## Model translace – analýza chybovosti

- srovnáme-li v rovnovážném stavu obě situace, dostáváme míru chybovosti  $E_{st}$ :

$$E_{st} = \frac{r_B}{r_A} = \frac{\frac{v[d][C]}{K_d}}{\frac{v[c][C]}{K_c}} \approx \frac{K_c}{K_d}$$

- jelikož maximální možná rychlost syntézy je limitována difúzí, jsou rychlosti obou syntéz srovnatelné,  $k_c \approx k_d$ , a tedy:

$$E_{st} = \frac{K_c}{K_d} = \frac{\frac{k'_c}{k_c}}{\frac{k'_d}{k_d}} \approx \frac{k'_c}{k'_d}$$

- rozhodující úlohu hraje tedy rychlost rozpadu dočasné vazby kodon–antikodon

## Model translace – analýza chybovosti

- srovnáme-li v rovnovážném stavu obě situace, dostáváme míru chybovosti  $E_{st}$ :

$$E_{st} = \frac{r_B}{r_A} = \frac{\frac{v[d][C]}{K_d}}{\frac{v[c][C]}{K_c}} \approx \frac{K_c}{K_d}$$

- jelikož maximální možná rychlost syntézy je limitována difúzí, jsou rychlosti obou syntéz srovnatelné,  $k_c \approx k_d$ , a tedy:

$$E_{st} = \frac{K_c}{K_d} = \frac{\frac{k'_c}{k_c}}{\frac{k'_d}{k_d}} \approx \frac{k'_c}{k'_d}$$

- rozhodující úlohu hraje tedy rychlost rozpadu dočasné vazby kodon–antikodon
  - chybný antikodon vázán nestabilně:

$$k'_d \gg k'_c$$



## *Model translace – analýza chybovosti*

- experimentálně byla zjištěna míra chybovosti translace u živých organismů  $E = 10^{-4}$

## *Model translace – analýza chybovosti*

- experimentálně byla zjištěna míra chybovosti translace u živých organismů  $E = 10^{-4}$
- rychlost rozpadu vazby kodon-antikodon byla zjištěna 100 krát rychlejší pro chybný antikodon

## *Model translace – analýza chybovosti*

- experimentálně byla zjištěna míra chybovosti translace u živých organismů  $E = 10^{-4}$
- rychlost rozpadu vazby kodon-antikodon byla zjištěna 100 krát rychlejší pro chybný antikodon
  - dle uvedeného modelu bychom dostali  $E_{st} = 10^{-2}$

## *Model translace – analýza chybovosti*

- experimentálně byla zjištěna míra chybovosti translace u živých organismů  $E = 10^{-4}$
- rychlost rozpadu vazby kodon-antikodon byla zjištěna 100 krát rychlejší pro chybný antikodon
  - dle uvedeného modelu bychom dostali  $E_{st} = 10^{-2}$
- uvedený model je v rozporu se skutečností

## *Model translace – analýza chybovosti*

- experimentálně byla zjištěna míra chybovosti translace u živých organismů  $E = 10^{-4}$
- rychlost rozpadu vazby kodon-antikodon byla zjištěna 100 krát rychlejší pro chybný antikodon
  - dle uvedeného modelu bychom dostali  $E_{st} = 10^{-2}$
- uvedený model je v rozporu se skutečností
- jaký faktor tedy snižuje chybovost translace?

*Model translace II*

C

c ... antikodon

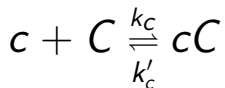
*Model translace II*

$$c + C$$

c ... antikodon

C ... kodon (mRNA)

## *Model translace II*



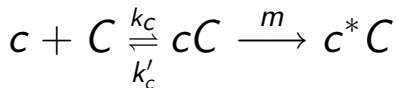
$c$  ... antikodon

$C$  ... kodon (mRNA)

$cC$  ... vazba kodon–antikodon



## *Model translace II*

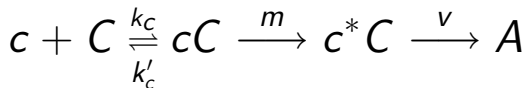


$c, c^*$  ... antikodon, \* značí chemickou modifikaci

$C$  ... kodon (mRNA)

$cC, c^*C$  ... vazba kodon–antikodon

## *Model translace II*



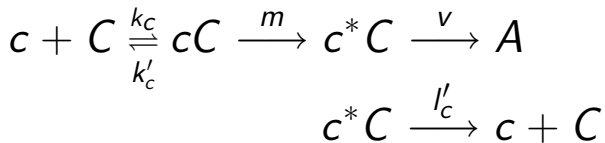
$c, c^*$  ... antikodon, \* značí chemickou modifikaci

$C$  ... kodon (mRNA)

$cC, c^*C$  ... vazba kodon–antikodon

$A$  ... aminokyselina

## Model translace II



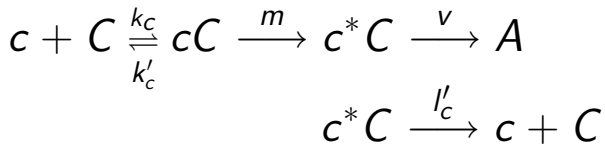
$c, c^*$  ... antikodon, \* značí chemickou modifikaci

$C$  ... kodon (mRNA)

$cC, c^*C$  ... vazba kodon–antikodon

$A$  ... aminokyselina

## Model translace II

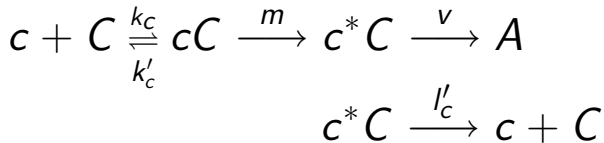


$k_c$  ... rychlost formace vazby kodon–antikodon

$k'_c$  ... rychlost rozpadu vazby kodon–antikodon

$v$  ... rychlost přiřazení  $A$  do formovaného proteinu

## Model translace II



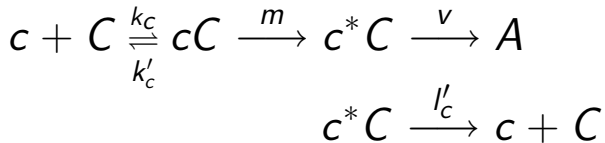
$k_c$  ... rychlost formace vazby kodon–antikodon

$k'_c$  ... rychlost rozpadu vazby kodon–antikodon

$v$  ... rychlost přiřazení  $A$  do formovaného proteinu

$m$  ... rychlost chemické modifikace navázané tRNA

## Model translace II



$k_c$  ... rychlost formace vazby kodon–antikodon

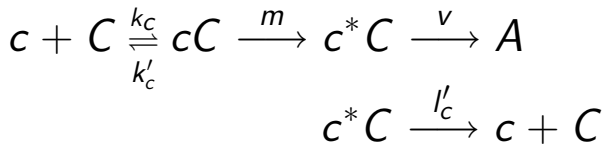
$k'_c$  ... rychlost rozpadu vazby kodon–antikodon

$v$  ... rychlost přiřazení  $A$  do formovaného proteinu

$m$  ... rychlost chemické modifikace navázané tRNA

$l'_c$  ... rychlost “vyklouznutí” tRNA z kodonu

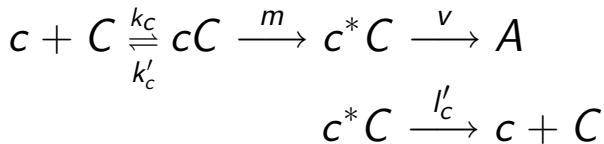
## Model translace II



- formování proteinu (vazeb mezi aminokyselinami) je v řádově pomalejší časové škále než interakce na kodonu

$$v \ll k_c, k'_c, l'_c, m$$

## Model translace II

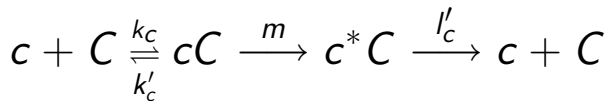


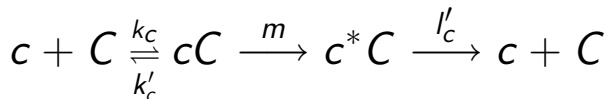
- formování proteinu (vazeb mezi aminokyselinami) je v řádově pomalejší časové škále než interakce na kodonu

$$v \ll k_c, k'_c, l'_c, m$$

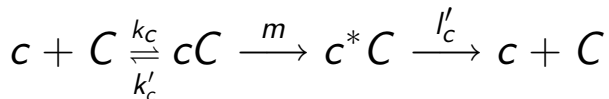
- $v$  nemá z krátkodobého hlediska vliv na rovnovážný stav ostatních reakcí ( $k_c$ ,  $k'_c$ ,  $m$  a  $l'_c$ )



*Model translace II*

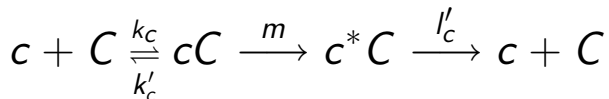
*Model translace II*

$$\frac{[c^*C]}{dt} = m[cC] - l'_c[c^*C]$$

*Model translace II*

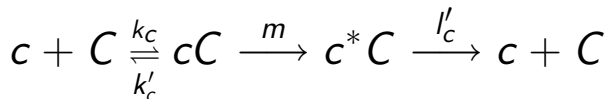
$$\frac{[c^*C]}{dt} = m[cC] - l'_c[c^*C]$$

$$\frac{[c^*C]}{dt} = 0$$

*Model translace II*

$$\frac{[c^*C]}{dt} = m[cC] - l'_c[c^*C]$$

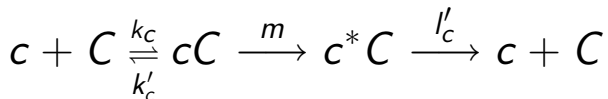
$$\frac{[c^*C]}{dt} = 0 \Rightarrow m[cC] = l'_c[c^*C]$$

*Model translace II*

$$\frac{[c^*C]}{dt} = m[cC] - l'_c[c^*C]$$

$$\frac{[c^*C]}{dt} = 0 \Rightarrow m[cC] = l'_c[c^*C]$$

$$\Rightarrow [c^*C] = \frac{m}{l'_c}[cC]$$

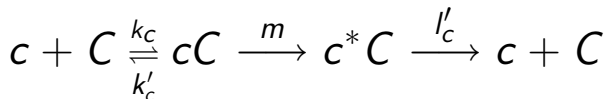
*Model translace II*

$$\frac{[c^*C]}{dt} = m[cC] - l'_c[c^*C]$$

$$\frac{[c^*C]}{dt} = 0 \Rightarrow m[cC] = l'_c[c^*C]$$

$$\Rightarrow [c^*C] = \frac{m}{l'_c}[cC] = \frac{m}{l'_c} \frac{[c][C]}{K_c}, \quad K_c = \frac{k'_c + m}{k_c}$$

## Model translace II



$$\frac{[c^*C]}{dt} = m[cC] - l'_c[c^*C]$$

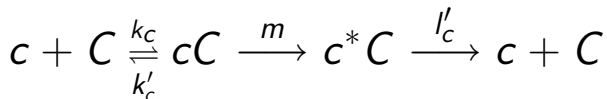
$$\frac{[c^*C]}{dt} = 0 \Rightarrow m[cC] = l'_c[c^*C]$$

$$\Rightarrow [c^*C] = \frac{m}{l'_c}[cC] = \frac{m}{l'_c} \frac{[c][C]}{K_c}, \quad K_c = \frac{k'_c + m}{k_c}$$

- pro rychlost začlenění A do proteinu tedy dostáváme:

$$r_A = v[c^*C]$$

## Model translace II



$$\frac{[c^*C]}{dt} = m[cC] - l'_c[c^*C]$$

$$\frac{[c^*C]}{dt} = 0 \Rightarrow m[cC] = l'_c[c^*C]$$

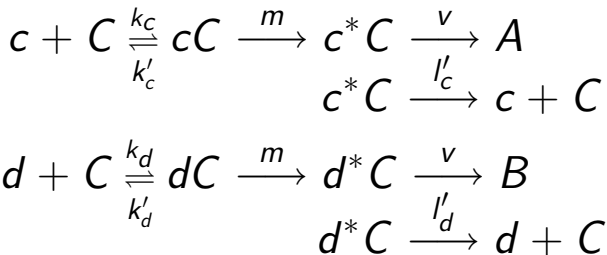
$$\Rightarrow [c^*C] = \frac{m}{l'_c}[cC] = \frac{m}{l'_c} \frac{[c][C]}{K_c}, \quad K_c = \frac{k'_c + m}{k_c}$$

- pro rychlost začlenění A do proteinu tedy dostáváme:

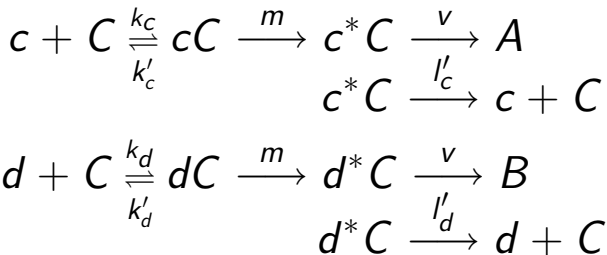
$$r_A = v[c^*C] = v \frac{m}{l'_c} \frac{[c][C]}{K_c}$$



## *Model translace II (špatný vs. správný antikodon)*

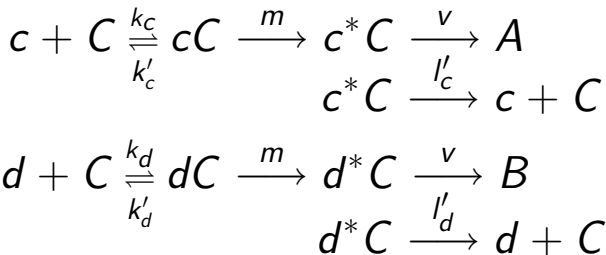


## *Model translace II (špatný vs. správný antikodon)*



- $v$  v obou případech přibližně shodné
- $k_c \approx k_d$
- $m$  přibližně shodné pro všechny tRNA,  $m \ll k'_c, k'_d$
- modifikace tRNA nemá vliv na rozpad vazby s kodonem

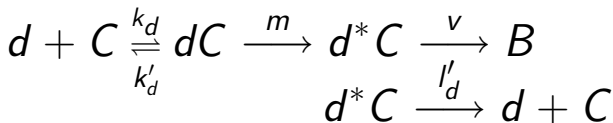
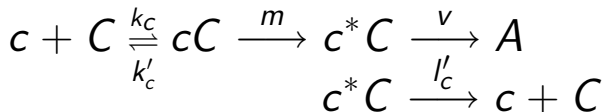
## Model translace II (špatný vs. správný antikodon)



- $v$  v obou případech přibližně shodné
- $k_c \approx k_d$
- $m$  přibližně shodné pro všechny tRNA,  $m \ll k'_c, k'_d$
- modifikace tRNA nemá vliv na rozpad vazby s kodonem

$$\frac{K_d}{K_c} = \frac{\frac{k'_d + m}{k_d}}{\frac{k'_c + m}{k_c}}$$

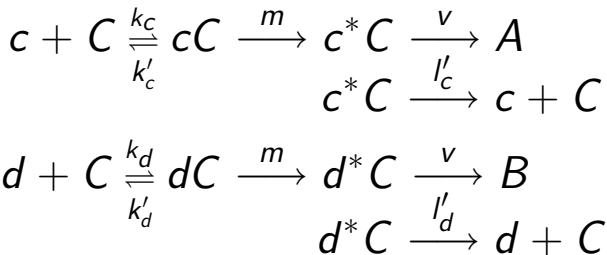
# Model translace II (špatný vs. správný antikodon)



- $v$  v obou případech přibližně shodné
- $k_c \approx k_d$
- $m$  přibližně shodné pro všechny tRNA,  $m \ll k'_c, k'_d$
- modifikace tRNA nemá vliv na rozpad vazby s kodonem

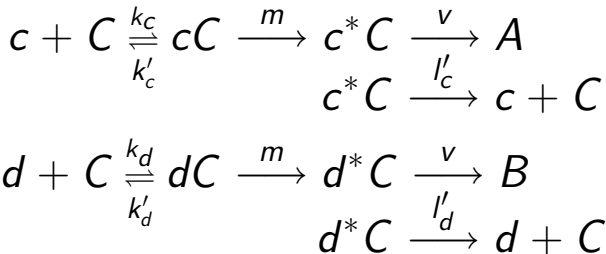
$$\frac{K_d}{K_c} = \frac{\frac{k'_d+m}{k_d}}{\frac{k'_c+m}{k_c}} \approx \frac{k'_d+m}{k'_c+m}$$

## Model translace II (špatný vs. správný antikodon)



- $v$  v obou případech přibližně shodné
- $k_c \approx k_d$
- $m$  přibližně shodné pro všechny tRNA,  $m \ll k'_c, k'_d$
- modifikace tRNA nemá vliv na rozpad vazby s kodonem

$$\frac{K_d}{K_c} = \frac{\frac{k'_d+m}{k_d}}{\frac{k'_c+m}{k_c}} \approx \frac{k'_d + m}{k'_c + m} \approx \frac{k'_d}{k'_c}$$

*Model translace II (špatný vs. správný antikodon)*

- $v$  v obou případech přibližně shodné
- $k_c \approx k_d$
- $m$  přibližně shodné pro všechny tRNA,  $m \ll k'_c, k'_d$
- modifikace tRNA nemá vliv na rozpad vazby s kodonem

$$\frac{K_d}{K_c} = \frac{\frac{k'_d+m}{k_d}}{\frac{k'_c+m}{k_c}} \approx \frac{k'_d+m}{k'_c+m} \approx \frac{k'_d}{k'_c} = \frac{l'_d}{l'_c}$$

*Model translace II (nesprávný vs. správný antikodon)*

$$r_A = v[c^* C] = v \frac{m [c][C]}{l'_c K_c}$$

$$r_B = v[d^* C] = v \frac{m [d][C]}{l'_d K_d}$$

## Model translace II (nesprávný vs. správný antikodon)

$$r_A = v[c^*C] = v \frac{m [c][C]}{l'_c K_c}$$

$$r_B = v[d^*C] = v \frac{m [d][C]}{l'_d K_d}$$

- pro míru chybovosti ve stabilním stavu nyní dostáváme:

$$E_{st} = \frac{r_B}{r_A}$$



## Model translace II (nesprávný vs. správný antikodon)

$$r_A = v[c^*C] = v \frac{m [c][C]}{l'_c K_c}$$

$$r_B = v[d^*C] = v \frac{m [d][C]}{l'_d K_d}$$

- pro míru chybovosti ve stabilním stavu nyní dostáváme:

$$E_{st} = \frac{r_B}{r_A} = \frac{l'_c K_c}{l'_d K_d}$$

## Model translace II (nesprávný vs. správný antikodon)

$$r_A = v[c^*C] = v \frac{m [c][C]}{l'_c K_c}$$

$$r_B = v[d^*C] = v \frac{m [d][C]}{l'_d K_d}$$

- pro míru chybovosti ve stabilním stavu nyní dostáváme:

$$E_{st} = \frac{r_B}{r_A} = \frac{l'_c K_c}{l'_d K_d}$$

- jelikož  $\frac{K_d}{K_c} \approx \frac{l'_d}{l'_c}$

## Model translace II (nesprávný vs. správný antikodon)

$$r_A = v[c^*C] = v \frac{m [c][C]}{l'_c K_c}$$

$$r_B = v[d^*C] = v \frac{m [d][C]}{l'_d K_d}$$

- pro míru chybovosti ve stabilním stavu nyní dostáváme:

$$E_{st} = \frac{r_B}{r_A} = \frac{l'_c K_c}{l'_d K_d}$$

- jelikož  $\frac{K_d}{K_c} \approx \frac{l'_d}{l'_c}$  lze psát:

$$E_{st} \approx \left(\frac{K_c}{K_d}\right)^2$$

## Model translace II (nesprávný vs. správný antikodon)

$$r_A = v[c^*C] = v \frac{m [c][C]}{l'_c K_c}$$

$$r_B = v[d^*C] = v \frac{m [d][C]}{l'_d K_d}$$

- pro míru chybovosti ve stabilním stavu nyní dostáváme:

$$E_{st} = \frac{r_B}{r_A} = \frac{l'_c K_c}{l'_d K_d}$$

- jelikož  $\frac{K_d}{K_c} \approx \frac{l'_d}{l'_c}$  lze psát:

$$E_{st} \approx \left(\frac{K_c}{K_d}\right)^2$$

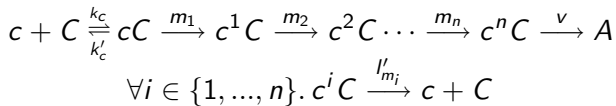
- nyní dle experimentálně zjištěných dat  $E_{st} \approx (10^{-2})^2 = 10^{-4}$

## *Analýza chybovosti translace – shrnutí*

- translace je příklad mechanismu při němž dochází k problému rozlišitelnosti
- vlivem rušivých elementů může dojít k chybě
- chyba při rozlišení dvou komponent může vést k dysfunkci
- organismus omezuje možnost chyby pomocí mechanismu proofreadingu
- proofreading spočívá v chemické modifikaci interagujících látek

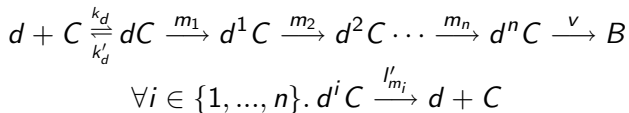
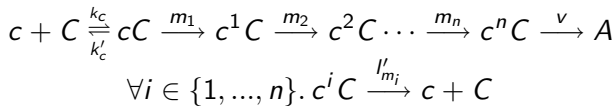
## *Škálovatelnost mechanismu proofreadingu*

- účinek proofreadingu lze umocnit zvýšením počtu postupných chemických modifikací interagujících látek



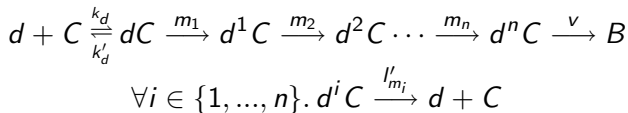
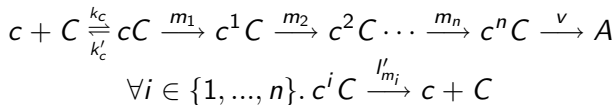
## Škálovatelnost mechanismu proofreadingu

- účinek proofreadingu lze umocnit zvýšením počtu postupných chemických modifikací interagujících látek



## Škálovatelnost mechanismu proofreadingu

- účinek proofreadingu lze umocnit zvýšením počtu postupných chemických modifikací interagujících látek



$$E_{st} \approx \left(\frac{K_c}{K_d}\right)^{n+1}$$